

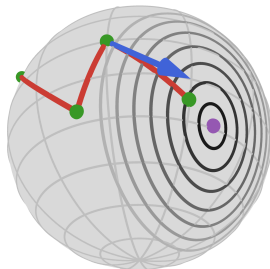
# Metodi di ottimizzazione su varietà differenziabili per la media di Fréchet su disco di Poincaré

Candidato: Luca Moroni  
Relatore: Bruno Iannazzo

Anno Accademico 2020/2021

# Introduzione

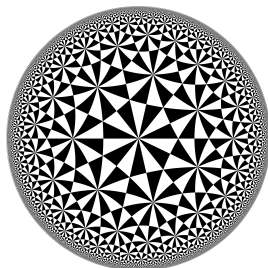
Tratteremo **metodi di ottimizzazione** di funzioni definite su **varietà differenziabili**, oggetti geometrici che generalizzano le nozioni di curva e superficie a dimensioni maggiori.



## Problema

Calcolare il centroide di  $p$  punti nel **disco di Poincaré**.

- Radar clutter classification [Barbasesco et al., 2019]
- Hyperbolic deep neural networks [Peng et al., 2021]

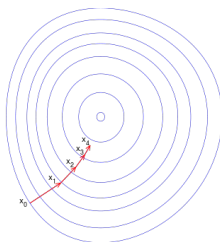


Data  $f : \mathbb{R}^n \rightarrow \mathbb{R}$ , con  $f$  due volte differenziabile, cercheremo di trovare un punto di minimo di  $f$ . Condizioni necessarie per dire se  $x$  è un punto di minimo:

- $\nabla f(x) = 0$
- $\nabla^2 f(x)$  definita positiva

Metodi **iterative descent**.

- Si parte da  $x^0 \in \mathbb{R}^n$
- Si genera una sequenza  $(x^1, x^2, \dots)$ , che converga (sperabilmente) ad un punto di minimo



I metodi iterative descent hanno bisogno di:

- **direzione di discesa:** dato  $g = \nabla f(x)$  allora ogni vettore direzione  $d$  tale che  $g'd < 0$  è una direzione di discesa
- **selezione del passo:**  $\alpha$

I metodi di ottimizzazione iterativi sono così generalizzati:

$$x^{k+1} = x^k - \alpha^k D^k \nabla f(x^k).$$

con  $D^k$  matrice definita positiva.

# Metodo a passo fisso

Fissato  $\alpha \in (0, 1]$  si ha che:

$$x^{k+1} = x^k - \alpha \nabla f(x^k)$$

- Molto semplice
- Non richiede ulteriori valutazioni della funzione costo
- Non è facile determinare a priori per quali valori di  $\alpha$  converge

Fissati  $s$ ,  $\gamma$  e  $\sigma$ , con  $0 < \gamma < 1$ ,  $0 < \sigma < 1$  e  $s > 0$ , allora  $\alpha^k = \sigma^m s$ , dove  $m$  è il naturale più piccolo per cui si ha **sufficiente decrescita**:

$$f(x^k) - f(x^k + \sigma^m s d^k) \geq -\gamma \sigma^m s \nabla f(x^k)' d^k.$$

- Richiede molteplici valutazioni della funzione costo
- Garantisce convergenza globale sotto blande ipotesi



Famiglia di metodi che scelgono  $D^k \approx \nabla^2 f(x)^{-1}$ .

$D^{k+1}$  deve soddisfare l' **equazione delle secanti**  $D^{k+1}q^k = p^k$ ,  
dove:

- $p^k = x^{k+1} - x^k$
- $q^k = \nabla f(x^{k+1}) - \nabla f(x^k)$

Data  $f : M \rightarrow \mathbb{R}$ . Dove  $M$  è una varietà differenziabile.

Una **retrazione**  $R_x$  su  $x$  in  $M$  è una mappa che va da  $T_x M$  in  $M$ .

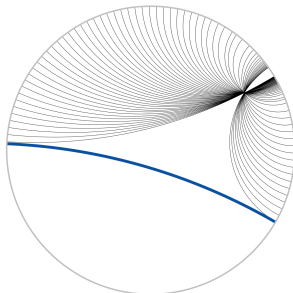
$T_x M$  rappresentante lo spazio tangente ad  $x$  di  $M$ .

# Ottimizzazione su varietà

## Mappa esponenziale

Un caso particolare di retrazione è la mappa esponenziale.

Definita su  $x$  in  $M$  e  $v$  in  $T_x M$  rappresenta la curva **geodetica** calcolata nel punto 1 originaria in  $x$  con derivata in 0 pari a  $v$ .



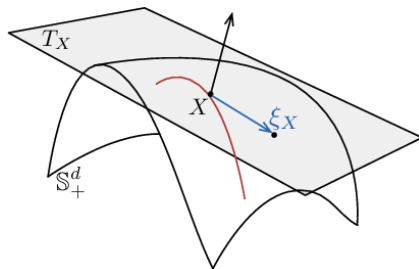
# Ottimizzazione su varietà

La formulazione generale dei metodi iterative descent su varietà è,

$$x^{k+1} = R_{x^k}(t^k \eta^k).$$

Dove  $\eta^k$  appartenente a  $T_{x^k}M$  e  $t^k$  è uno scalare.

I metodi sono analoghi al caso euclideo.



## Definizione

Modello per la descrizione dello spazio iperbolico.

$$\mathbb{D}^n = \{x \in \mathbb{R}^n \mid \|x\| < 1\}.$$

È una **varietà riemanniana**.

Lo spazio tangente è rappresentato da  $\mathbb{R}^n$  in ogni punto.

La **metrica** nello spazio tangente rispetto a  $p$  nel disco:

$$g^{\mathbb{D}} = \lambda_p^2 g^E; \text{ con } \lambda_p = \frac{2}{1 - \|p\|^2} \text{ e con } g^E \text{ la metrica euclidea.}$$

Sono ben note le formule necessarie per effettuare ottimizzazione ovvero, la **distanza** e la **mappa esponenziale**.

## Definizione

È un altro modello per la rappresentazione dello spazio iperbolico.

$$\mathbb{H}^n = \{x \in \mathbb{R}^{n+1} \mid \langle x, x \rangle_{n:1} = -1; \quad x_{n+1} > 0\}.$$

È una **varietà riemanniana**.

Lo spazio tangente è rappresentato da,

$$T_p \mathbb{H}^n \cong \{x \in \mathbb{R}^{n:1} \mid \langle p, x \rangle_{n:1} = 0\}.$$

La **metrica** è definita dal **prodotto di Minkowski**.

$$\langle u, v \rangle_{n:1} = \sum_{i=1}^n u_i v_i - u_{n+1} v_{n+1}; \quad u, v \in \mathbb{R}^{n+1}.$$

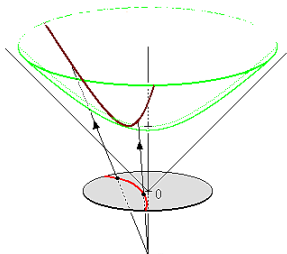
Sono ben note la **distanza** e la **mappa esponenziale**.

## Mappa stereografica

Le due varietà appena definite sono legate da un **diffeomorfismo conforme**, la mappa stereografica  $\rho$ , definita come segue.

$$\rho : \mathbb{H}^n \rightarrow \mathbb{D}^n \mid x \rightarrow \frac{1}{x_{n+1} + 1} (x_1, \dots, x_n),$$

$$\rho^{-1} : \mathbb{D}^n \rightarrow \mathbb{H}^n \mid y \rightarrow \frac{2}{1-r} (y_1, \dots, y_n, \frac{1+r}{2}) ; \text{ con } r = \|y\|^2.$$



In funzione della mappa conforme che lega le due varietà presentate vale:

$$d_{\mathbb{D}^n}(a, b) = d_{\mathbb{H}^n}(\rho^{-1}(a), \rho^{-1}(b)) \quad a, b \in \mathbb{D}^n.$$

Con:

$$d_{\mathbb{D}^n}(a, b) = \operatorname{arccosh}\left(1 + 2 \frac{\|a - b\|^2}{(1 - \|a\|^2)(1 - \|b\|^2)}\right),$$

$$d_{\mathbb{H}^n}(\rho^{-1}(a), \rho^{-1}(b)) = \operatorname{arccosh}(-\langle \rho^{-1}(a), \rho^{-1}(b) \rangle_{n:1}).$$



# Media di Fréchet e problema del centroide

## Media di Fréchet

Dati  $p$  punti in una varietà, la media di Fréchet di  $p$  punti è **l'argomento che minimizza** la funzione **somma delle distanze al quadrato**.

$$f(\Theta) = \frac{1}{p} \sum_{i=1}^p d^2(\Theta, x^{(i)}).$$

Definendo la funzione  $f$  su disco se esiste un valore di minimo allora esiste un valore di minimo anche per la funzione  $\hat{f}$  definita su iperboloide.

# Media di Fréchet e problema del centroide

Essendo  $f(x) = \hat{f}(\rho^{-1}(x))$  allora cercare il minimo di  $f$  equivale a cercare il minimo di  $\hat{f} \circ \rho^{-1}$ .

È possibile **trasportare il problema** del calcolo della media di Fréchet definito su disco di Poincaré nella varietà iperboloide e viceversa.

Abbiamo implementato i seguenti tre algoritmi nella versione riemanniana sia su disco che su iperboloide.

- Algoritmo a **passo fisso**
- Algoritmo che si basa sul metodo di **Armijo**
- Algoritmo di **Barzilai-Borwein**: metodo **quasi Newton**

## Obiettivo Sperimentale

Capiremo se le due varietà sono equivalenti, non solo da un punto di vista geometrico ma anche da un punto di vista computazionale.

Abbiamo creato un dataset contenente varie (duecento) istanze del problema della media di Fréchet su disco di Poincaré, per ogni istanza ne abbiamo calcolato il limite.

Abbiamo utilizzato un sottoinsieme del dataset per definire i parametri “liberi” degli algoritmi.

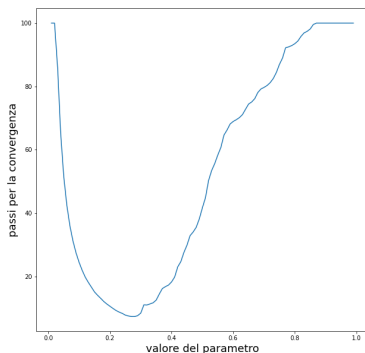
- $\alpha$ : dell'algoritmo a passo fisso
- $s$ : per l'algoritmo di Armijo

## Selezione parametri liberi

- Abbiamo applicato gli algoritmi con un parametro incrementale su ogni istanza del sotto-dataset
- Per ogni esecuzione abbiamo calcolato il numero di passi per la convergenza, generando per ogni istanza una sequenza ed alla fine ne abbiamo calcolato una media
- Abbiamo selezionato i parametri che minimizzano le sequenze medie sia per l'implementazione su disco che su iperboloide

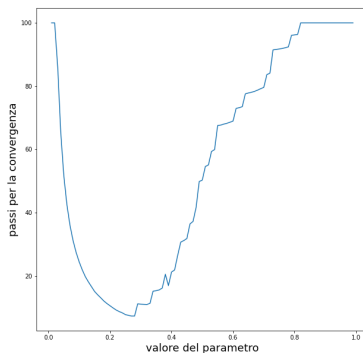
# Scelta del parametro passo fisso

## Disco di Poincaré



Punto di minimo: 0.27, valore di convergenza minimo: 7.35.

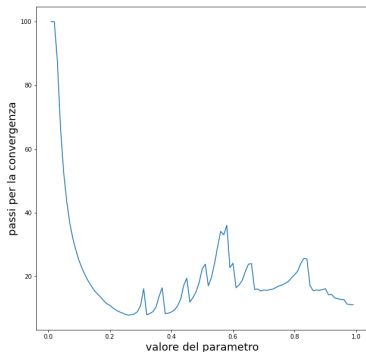
## Iperboloide



Punto di minimo: 0.27, valore di convergenza minimo: 7.35.

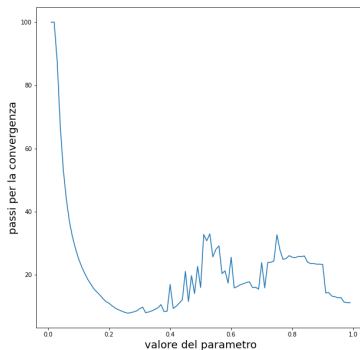
# Scelta del parametro metodo di Armijo

## Disco di Poincaré



Punto di minimo: 0.26, valore di convergenza minimo: 7.9.

## Iperboloide



Punto di minimo: 0.26, valore di convergenza minimo: 7.9.



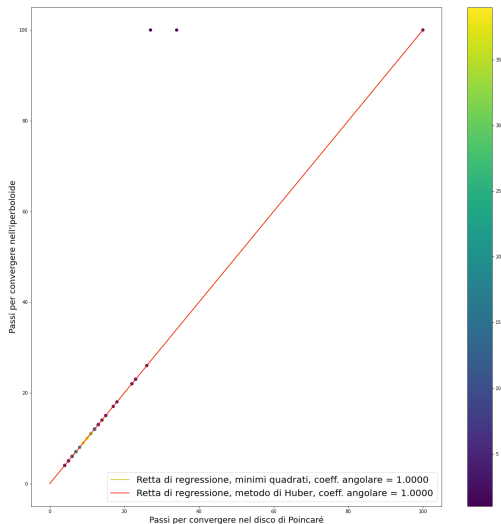
## Metodi di confronto tra le due implementazioni

Per ogni algoritmo lo abbiamo eseguito su ogni istanza del dataset totale creando una serie di punti  $(a, b) \in \mathbb{R}^2$ .

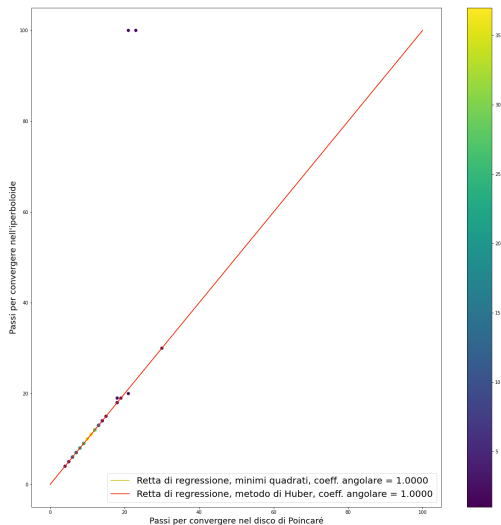
- $a$ : numero di passi per la convergenza su disco
- $b$ : il numero di passi per la convergenza su iperboloide

Dalla nuvola di punti si sono eliminati quei punti con una molteplicità bassa.

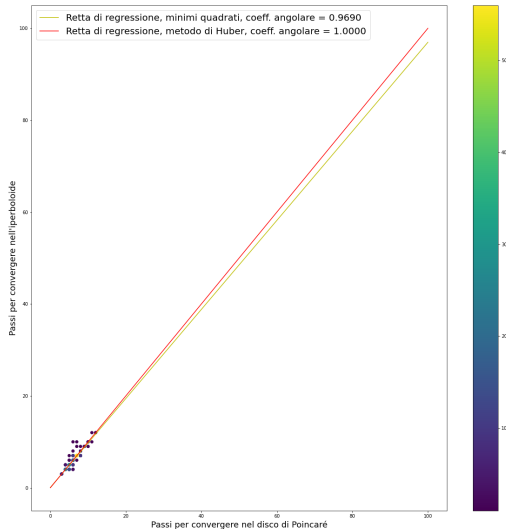
Si sono calcolate due rette di regressione, la prima tramite il metodo dei **minimi quadrati**, la seconda tramite l'algoritmo di **Huber**.



Nuvola di punti relativa all'algorithmo a passo fisso.



Nuvola di punti relativa all'algorithmo di Armijo.



Nuvola di punti relativa all'algoritmo di Barzilai-Borwein.

## Convergenza media

Confronto passi di convergenza medi per gli algoritmi implementati.

	Passo fisso	Armijo	B.B.
Disco di Poincaré	10.5	10.4	6.13
Iperboloide	11.2	11.2	6.8

# Conclusioni

## Risultato

È possibile notare come l'algoritmo di **Barzilai-Borwein** si comporta meglio rispetto agli algoritmi a passo fisso e di ricerca lineare (Armijo).

## Congettura

È possibile trasferire un problema tra due varietà conformi, deve comunque essere preservata l'esistenza di una soluzione ottima per la funzione costo.

## Contributi

Si sono implementate le classi per la gestione del disco di Poincaré e dell'iperboloide, che saranno proposte come aggiunta alla libreria **PyManopt** implementazione python della libreria **Manopt**

Grazie per l'attenzione.